

Starkniederschlagshöhen und -spenden gemäß KOSTRA-DWD-2010R

Auswertungszeitraum von 1951 - 2010, Januar - Dezember

Rasterfeld: 94024

Zeile: 94

Spalte: 24

Seite: 1/2

| Dauerstufe D | Wiederkehrzeit T | | | | | | | | | | | | | | | | | | |
|--------------|------------------|------|------------|------|------------|------|------------|------|------------|------|------------|------|------------|------|------------|-------|------------|-------|------------|
| | 1 a | | 2 a | | 3 a | | 5 a | | 10 a | | 20 a | | 30 a | | 50 a | | 100 a | | |
| min | Std | mm | l / (s ha) | mm | l / (s ha) | mm | l / (s ha) | mm | l / (s ha) | mm | l / (s ha) | mm | l / (s ha) | mm | l / (s ha) | mm | l / (s ha) | mm | l / (s ha) |
| 5 | | 6,6 | 220,0 | 8,7 | 290,0 | 10,0 | 333,3 | 11,6 | 386,7 | 13,7 | 456,7 | 15,8 | 526,7 | 17,1 | 570,0 | 18,6 | 620,0 | 20,8 | 693,3 |
| 10 | | 10,0 | 166,7 | 12,8 | 213,3 | 14,5 | 241,7 | 16,6 | 276,7 | 19,4 | 323,3 | 22,3 | 371,7 | 23,9 | 398,3 | 26,0 | 433,3 | 28,8 | 480,0 |
| 15 | | 12,1 | 134,4 | 15,4 | 171,1 | 17,4 | 193,3 | 19,9 | 221,1 | 23,2 | 257,8 | 26,5 | 294,4 | 28,5 | 316,7 | 31,0 | 344,4 | 34,3 | 381,1 |
| 20 | | 13,5 | 112,5 | 17,3 | 144,2 | 19,5 | 162,5 | 22,2 | 185,0 | 26,0 | 216,7 | 29,7 | 247,5 | 31,9 | 265,8 | 34,7 | 289,2 | 38,5 | 320,8 |
| 30 | | 15,3 | 85,0 | 19,7 | 109,4 | 22,3 | 123,9 | 25,6 | 142,2 | 30,0 | 166,7 | 34,4 | 191,1 | 37,0 | 205,6 | 40,3 | 223,9 | 44,7 | 248,3 |
| 45 | | 16,8 | 62,2 | 22,0 | 81,5 | 25,0 | 92,6 | 28,9 | 107,0 | 34,1 | 126,3 | 39,4 | 145,9 | 42,4 | 157,0 | 46,3 | 171,5 | 51,5 | 190,7 |
| 60 | | 17,6 | 48,9 | 23,5 | 65,3 | 26,9 | 74,7 | 31,3 | 86,9 | 37,2 | 103,3 | 43,0 | 119,4 | 46,5 | 129,2 | 50,8 | 141,1 | 56,7 | 157,5 |
| 90 | | 19,3 | 35,7 | 25,4 | 47,0 | 28,9 | 53,5 | 33,4 | 61,9 | 39,5 | 73,1 | 45,6 | 84,4 | 49,1 | 90,9 | 53,6 | 99,3 | 59,7 | 110,6 |
| 120 | 2 | 20,6 | 28,6 | 26,9 | 37,4 | 30,5 | 42,4 | 35,1 | 48,8 | 41,3 | 57,4 | 47,5 | 66,0 | 51,1 | 71,0 | 55,7 | 77,4 | 61,9 | 86,0 |
| 180 | 3 | 22,7 | 21,0 | 29,1 | 26,9 | 32,8 | 30,4 | 37,5 | 34,7 | 44,0 | 40,7 | 50,4 | 46,7 | 54,1 | 50,1 | 58,8 | 54,4 | 65,2 | 60,4 |
| 240 | 4 | 24,2 | 16,8 | 30,8 | 21,4 | 34,6 | 24,0 | 39,4 | 27,4 | 46,0 | 31,9 | 52,5 | 36,5 | 56,4 | 39,2 | 61,2 | 42,5 | 67,7 | 47,0 |
| 360 | 6 | 26,6 | 12,3 | 33,4 | 15,5 | 37,3 | 17,3 | 42,3 | 19,6 | 49,1 | 22,7 | 55,8 | 25,8 | 59,8 | 27,7 | 64,7 | 30,0 | 71,5 | 33,1 |
| 540 | 9 | 29,2 | 9,0 | 36,2 | 11,2 | 40,3 | 12,4 | 45,4 | 14,0 | 52,4 | 16,2 | 59,3 | 18,3 | 63,4 | 19,6 | 68,6 | 21,2 | 75,5 | 23,3 |
| 720 | 12 | 31,2 | 7,2 | 38,3 | 8,9 | 42,5 | 9,8 | 47,8 | 11,1 | 54,9 | 12,7 | 62,0 | 14,4 | 66,2 | 15,3 | 71,5 | 16,6 | 78,6 | 18,2 |
| 1080 | 18 | 34,3 | 5,3 | 41,6 | 6,4 | 45,9 | 7,1 | 51,3 | 7,9 | 58,7 | 9,1 | 66,1 | 10,2 | 70,4 | 10,9 | 75,8 | 11,7 | 83,2 | 12,8 |
| 1440 | 24 | 36,6 | 4,2 | 44,1 | 5,1 | 48,5 | 5,6 | 54,1 | 6,3 | 61,6 | 7,1 | 69,1 | 8,0 | 73,5 | 8,5 | 79,1 | 9,2 | 86,6 | 10,0 |
| 2880 | 48 | 46,5 | 2,7 | 54,8 | 3,2 | 59,6 | 3,4 | 65,7 | 3,8 | 74,0 | 4,3 | 82,3 | 4,8 | 87,2 | 5,0 | 93,3 | 5,4 | 101,6 | 5,9 |
| 4320 | 72 | 53,5 | 2,1 | 62,2 | 2,4 | 67,3 | 2,6 | 73,8 | 2,8 | 82,5 | 3,2 | 91,2 | 3,5 | 96,3 | 3,7 | 102,8 | 4,0 | 111,5 | 4,3 |

Angaben in mm: Bemessungsniederschlagswerte h(n)

Angaben in l / (s ha): Regenspende R(n) mit $R(n) = h(n) \times 1,666667 / D[\text{min}]$

Toleranzbereiche:

+/- 10 % für $1 \text{ a} \leq T \leq 5 \text{ a}$

+/- 15 % für $5 \text{ a} < T \leq 50 \text{ a}$

+/- 20 % für $50 \text{ a} < T \leq 100 \text{ a}$

Datenbasis: KOSTRA-DWD-2010R des Deutschen Wetterdienstes. Die Regenspende wurde auf Basis des Bemessungsniederschlags zur jeweiligen Andauer berechnet.

Für die Richtigkeit und Aktualität der Angaben wird keine Gewähr übernommen. Erstellt 07/2022.

Starkniederschlagshöhen und -spenden gemäß KOSTRA-DWD-2010R

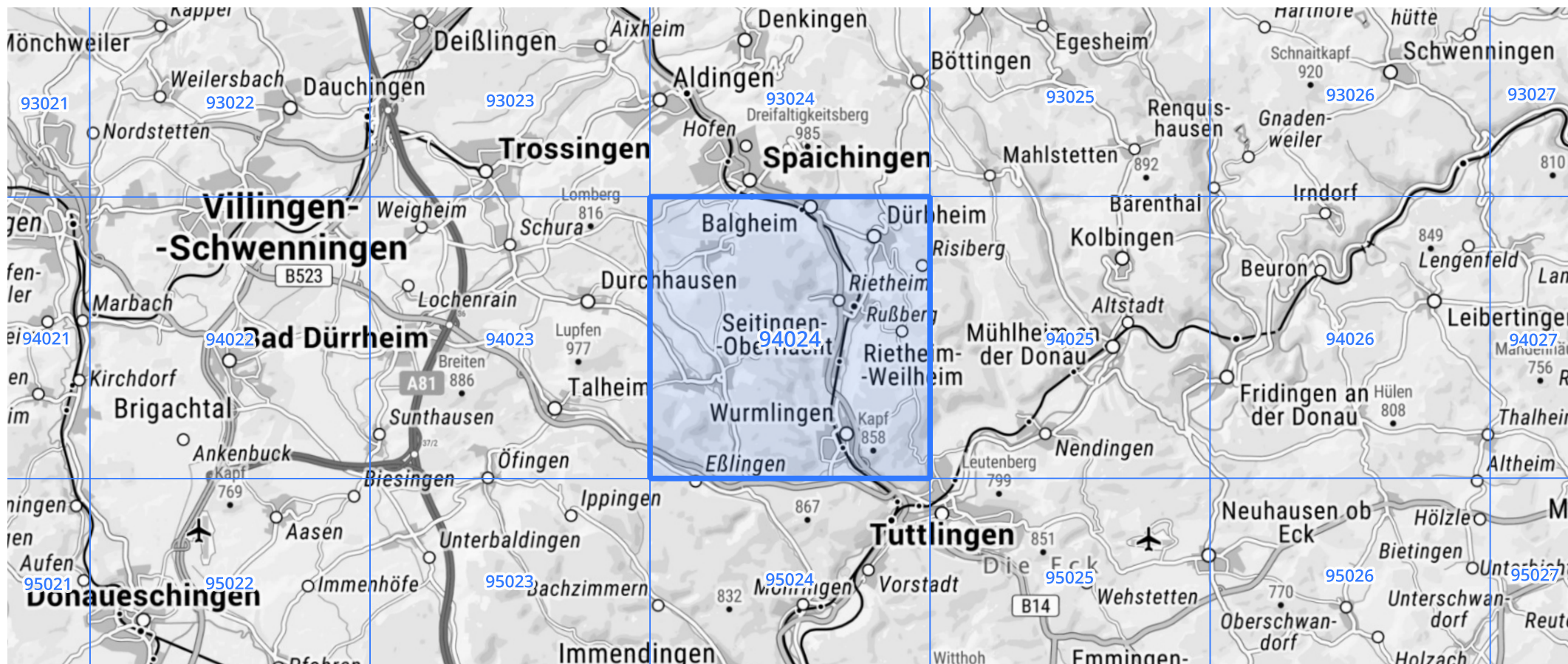
Auswertungszeitraum von 1951 - 2010, Januar - Dezember

Rasterfeld: 94024

Zeile: 94

Spalte: 24

Seite: 2/2



Quelle Rasterdaten: KOSTRA-DWD-2010R des Deutschen Wetterdienstes.

Kartendarstellung: © Bundesamt für Kartographie und Geodäsie (2022), Datenquellen: https://sgx.geodatenzentrum.de/web_public/gdz/datenquellen/Datenquellen_TopPlusOpen.html

Für die Richtigkeit und Aktualität der Angaben wird keine Gewähr übernommen. Erstellt 07/2022.